

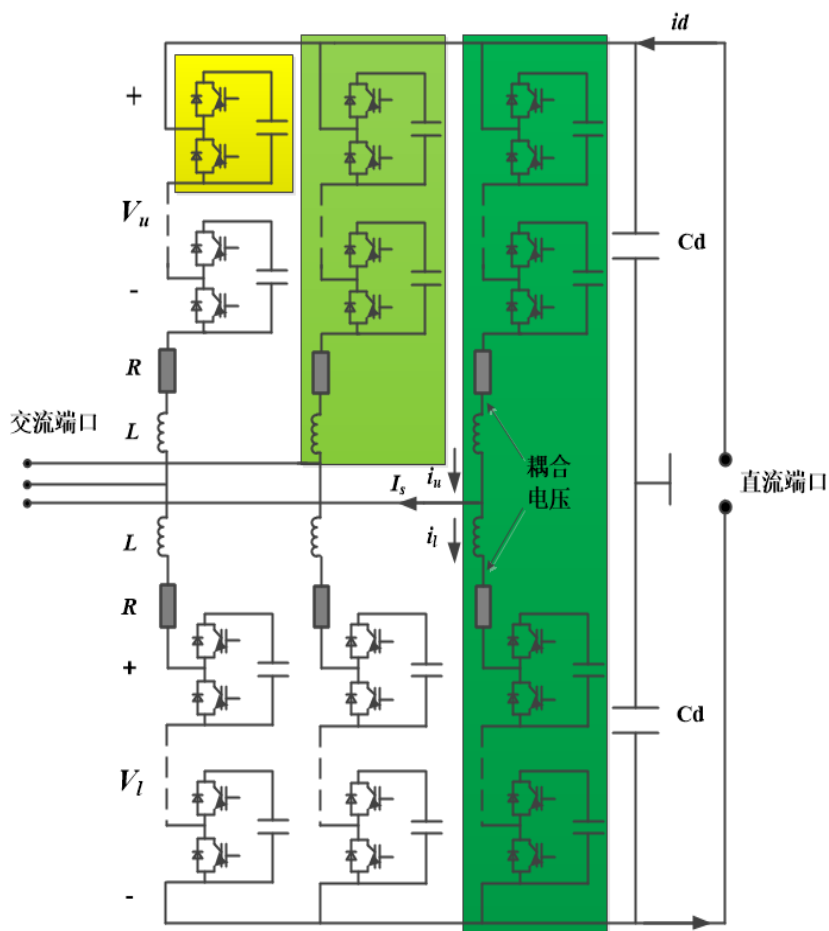


深圳大学
SHENZHEN UNIVERSITY

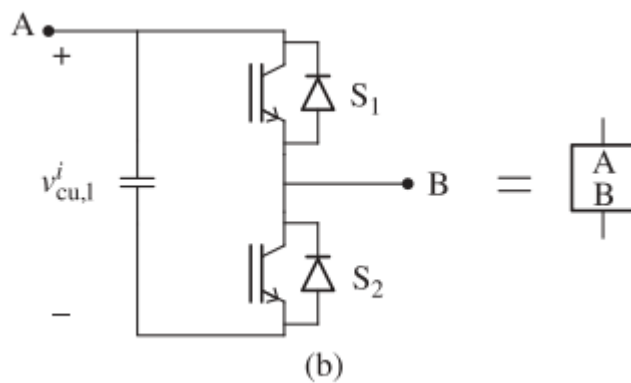
MMC-MTDC控制系统建模

王怀智
深圳大学

MMC子模块运行原理



MMC子模块如图：



有三种状态

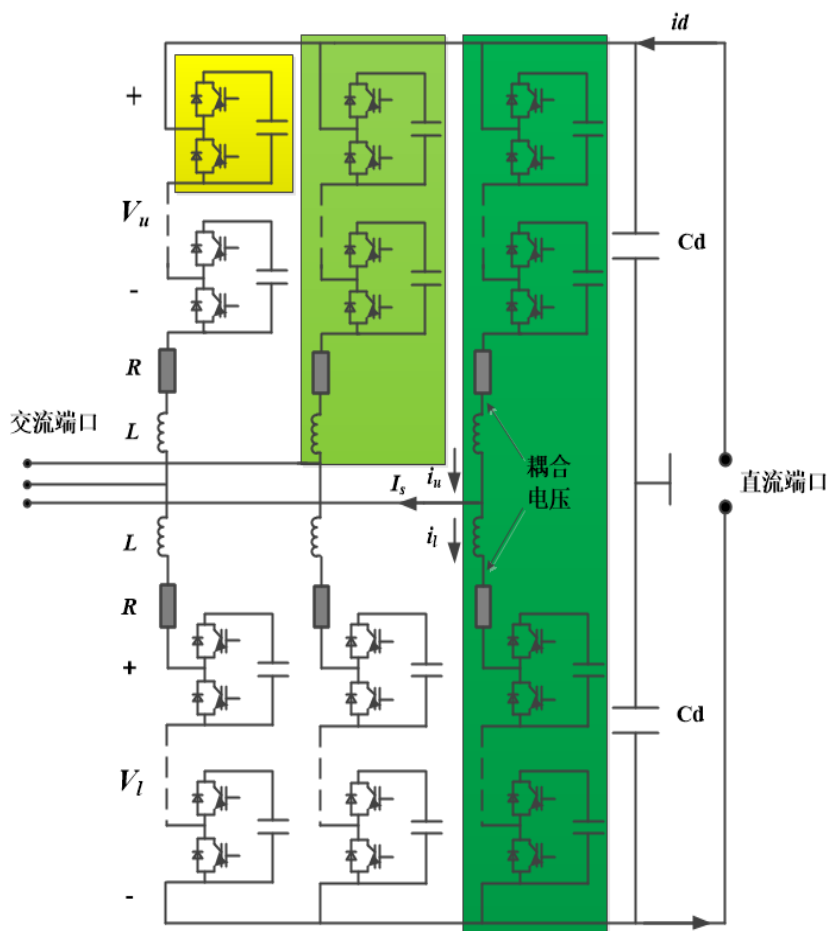
- Inserted:

S_2 开, S_1 关, $n_{u,l}^i = 1$, 电容根据电流流向充电或放电;

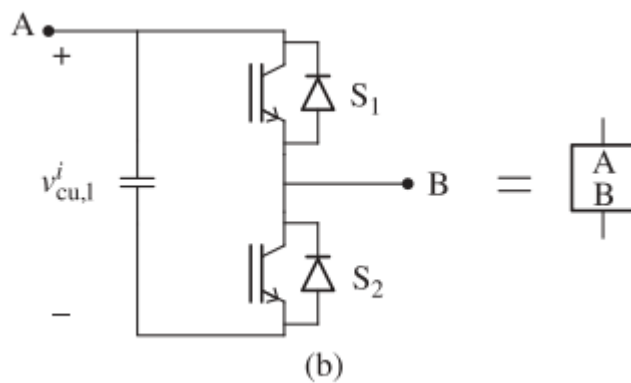
- Bypassed:

S_1 开, S_2 关, $n_{u,l}^i = 0$, 电容电压保持恒定;

MMC子模块运行原理



MMC子模块如图：

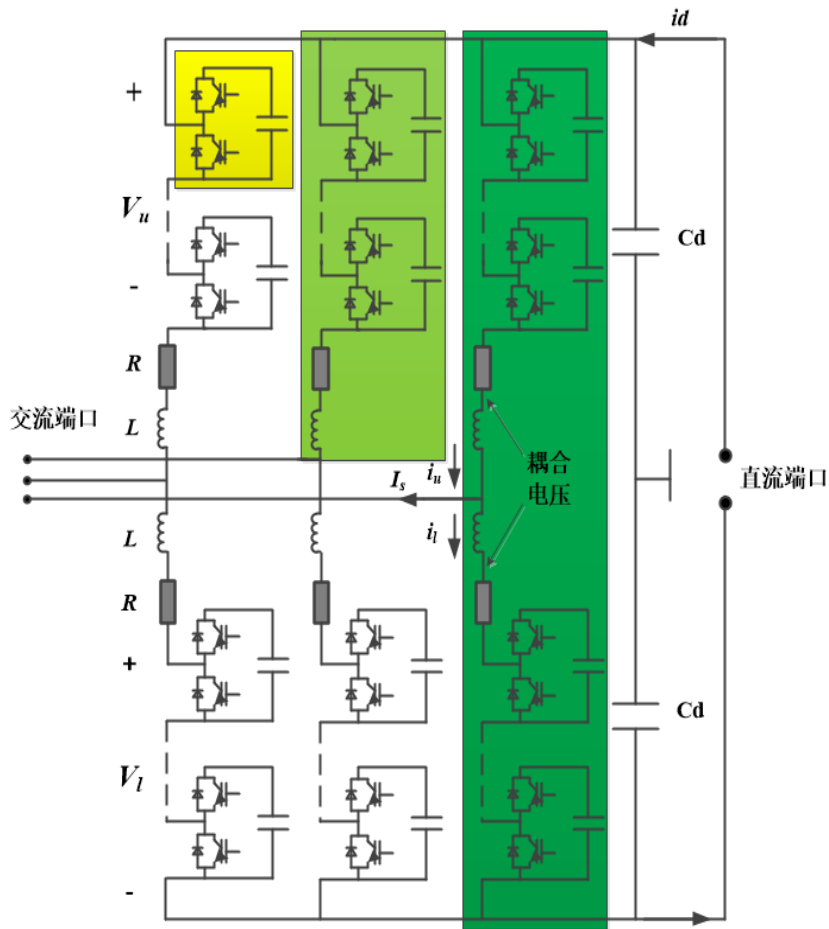


有三种状态

● Blocked:

S_2 关, S_1 关, 电容可通过 S_2 的并联二极管充电, 但无法放电。可用于MMC的初始充能, 可在故障期间保护晶体管, 避免晶体管过电流。

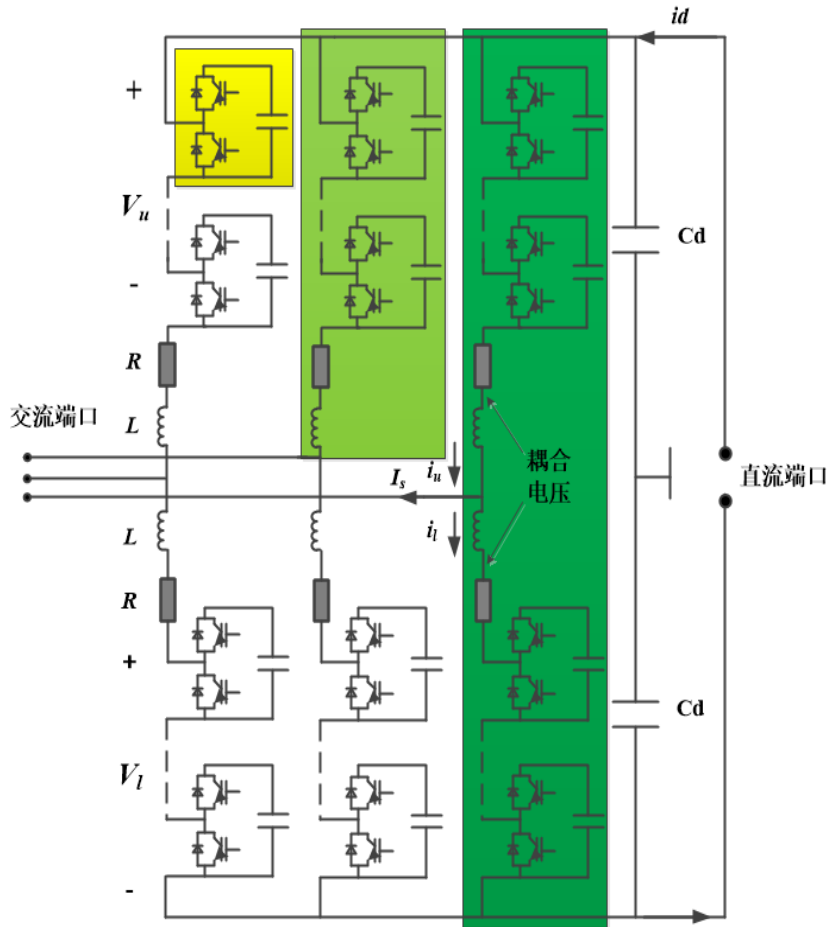
MMC子模块运行原理



当所有子模块均被Bypassed，则有
 $v_{u,l} = 0$;

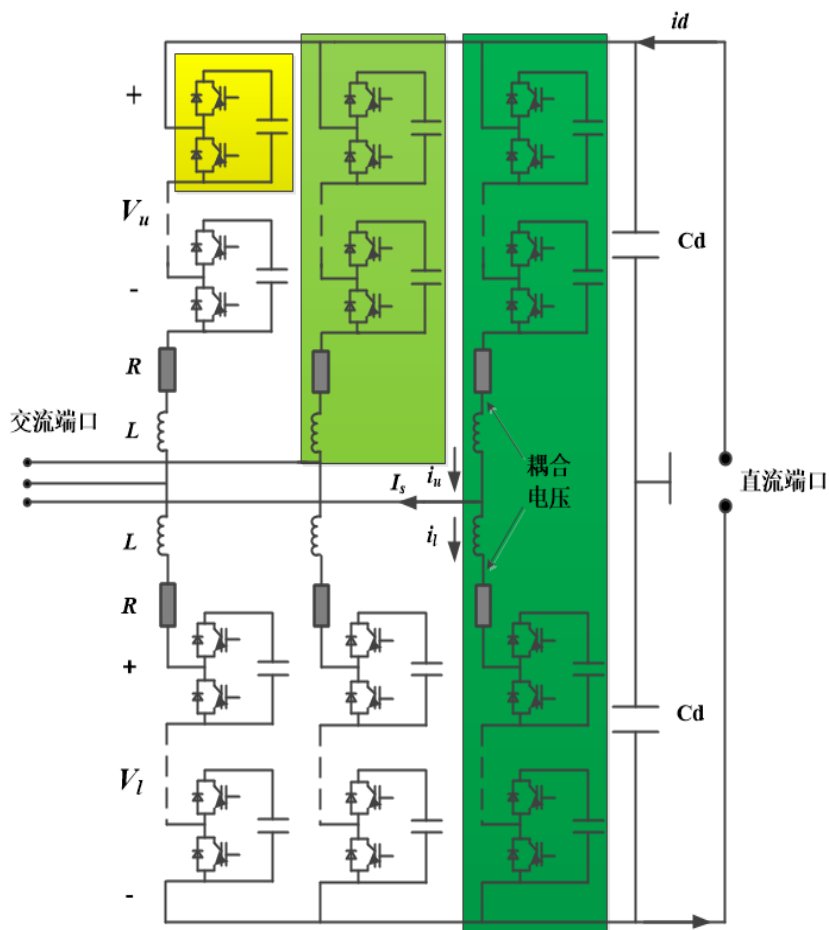
当所有子模块均Inserted，则有
 $v_{u,l} = v_{cu,l}^{\Sigma}$

直流母线



中点到正极或负极的电容为 $2C_d$;
正负极间电容为 C_d 。

MMC子模块运行原理



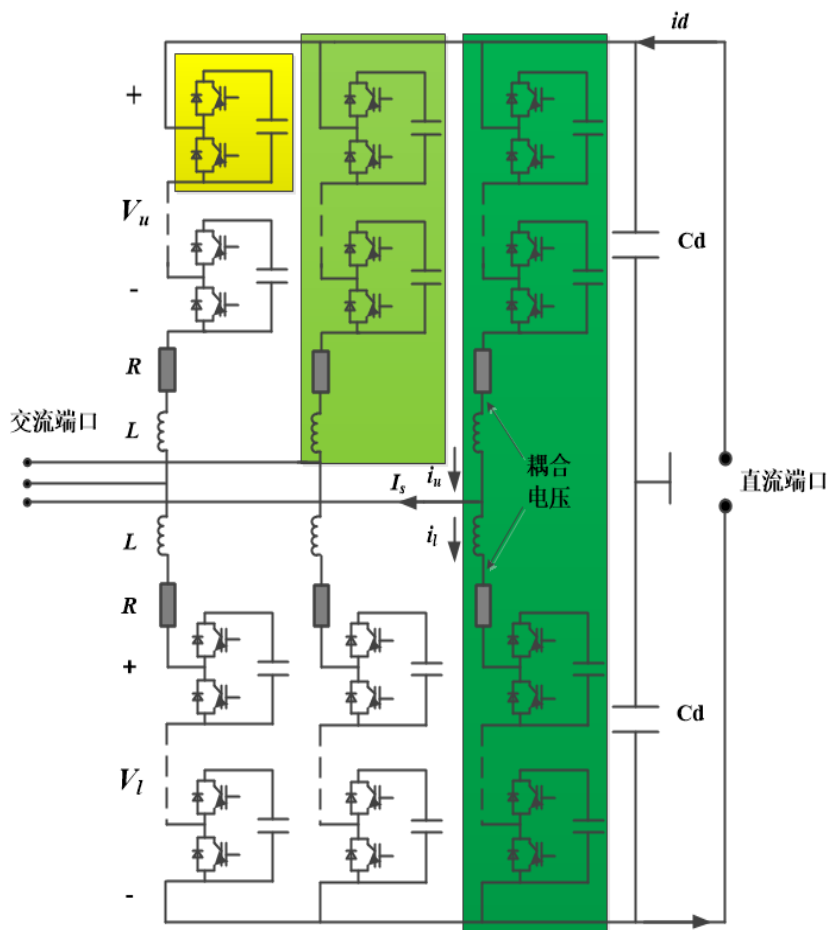
- 输出电流: $i_s = i_u - i_l$
- 循环电流: $i_c = (i_u + i_l)/2$
- 桥臂电流平均值之和等于直流电流

$$\sum_{k=1}^M \bar{i}_{u,l}^k = i_d \quad (1)$$

- 桥臂电流中总存在直流分量, 若各相电压和电流波形相同且对称, 则直流分量为

$$\bar{i}_u = \bar{i}_l = \bar{i}_c = \frac{i_d}{M} \quad (2)$$

电流动态建模



根据KVL可写出输出电流和循环电流的动态方程

$$\frac{L}{2} \frac{di_s}{dt} = \frac{-v_u + v_l}{2} - v_a - \frac{R}{2} i_s \quad (3)$$

$$L \frac{di_c}{dt} = \frac{v_d}{2} - \frac{v_u + v_l}{2} - R i_c$$

其中 $v_s = (-v_u + v_l)/2$ 为输出电压，
 $v_c = (v_u + v_l)/2$ 为内部电压，驱动循环电流 i_c

MMC平均动态模型推导

MMC的子模块接入系数仅有两个值

- $n_{u,l}^i = 0$ 上桥臂/下桥臂的第*i*个电容没有接入
- $n_{u,l}^i = 1$ 上桥臂/下桥臂的第*i*个电容接入

那么上/下桥臂的电压可写为：

$$v_{u,l} = \sum_{i=1}^N n_{u,l}^i v_{cu,l}^i \quad (5)$$

使桥臂的子模块电容电压间的差异在可忽略范围内，即子模块电容电压近似为相等，那么（5）可近似为

$$v_{u,l} = \sum_{i=1}^N n_{u,l}^i v_{cu,l}^i \approx \frac{v_{cu,l}^\Sigma}{N} \sum_{i=1}^N n_{u,l}^i \quad (6)$$

MMC平均动态模型推导

定义桥臂接入系数

$$n_{n,l} = \frac{1}{N} \sum_{i=1}^N n_{u,l}^i \quad (7)$$

假设N足够大时，可近似认为 $n_{u,l}$ 在 $[0,1]$ 上连续，那么（6）可以写为

$$v_{u,l} = n_{u,l} v_{cu,l}^\Sigma \quad (8)$$

将（8）带入（3）中，有

$$\begin{aligned} \frac{L}{2} \frac{di_s}{dt} &= \frac{-n_u v_{cu}^\Sigma + n_l v_{cl}^\Sigma}{2} - v_a - \frac{R}{2} i_s \\ L \frac{di_c}{dt} &= \frac{v_d}{2} - \frac{n_u v_{cu}^\Sigma + n_l v_{cl}^\Sigma}{2} - R i_c \end{aligned} \quad (9)$$

MMC平均动态模型推导

由（9），输出电流和循环电流是单相MMC动态模型的状态变量，实际中无法考虑每个子模块中电容的动态，需要将平均原理用于子模块电容动态的描述。

每个子模块电容动态为：

$$C \frac{dv_{cu,l}^i}{dt} = n_{u,l}^i i_{u,l}, \quad i = 1, 2, \dots, N \quad (10)$$

将N个电容动态方程相加并简写有

$$\frac{C}{N} \frac{dv_c^\Sigma}{dt} = n_{u,l} i_{u,l} \quad (11)$$

MMC平均动态模型推导

将（11）中 $i_{u,l}$ 表示为输出电流与循环电流，则可得到MMC的平均动态模型为：

$$\left\{ \begin{array}{l} \frac{L}{2} \frac{di_s}{dt} = \frac{-n_u v_{cu}^{\Sigma} + n_l v_{cl}^{\Sigma}}{2} - v_a - \frac{R}{2} i_s \\ L \frac{di_c}{dt} = \frac{v_d}{2} - \frac{n_u v_{cu}^{\Sigma} + n_l v_{cl}^{\Sigma}}{2} - R i_c \\ \frac{C}{N} \frac{dv_{cu}^{\Sigma}}{dt} = n_u \left(\frac{i_s}{2} + i_c \right) \\ \frac{C}{N} \frac{dv_{cl}^{\Sigma}}{dt} = n_l \left(-\frac{i_s}{2} + i_c \right) \end{array} \right. \quad (12)$$

桥臂接入系数参考值

由上述推导，输出电压和循环电压可表示为：

$$v_s = \frac{-n_u v_{cu}^\Sigma + n_l v_{cl}^\Sigma}{2} \quad v_c = \frac{n_u v_{cu}^\Sigma + n_l v_{cl}^\Sigma}{2} \quad (13)$$

求解（13）可得

$$n_u = \frac{v_c - v_s}{v_{cu}^\Sigma} \quad n_l = \frac{v_c + v_s}{v_{cl}^\Sigma} \quad (14)$$

桥臂接入系数的参考值表示为：

$$n_u = \frac{v_c^* - v_s^*}{v_{cu}^\Sigma} \quad n_l = \frac{v_c^* + v_s^*}{v_{cl}^\Sigma} \quad (15)$$

桥臂电容电压波动

将（15）代入MMC平均动态模型（12）中：

$$\frac{C}{N} \frac{dv_{cu}^{\Sigma}}{dt} = \frac{v_c^* - v_s^*}{v_{cu}^{\Sigma}} \left(\frac{i_s}{2} + i_c \right) \quad \frac{C}{N} \frac{dv_{cl}^{\Sigma}}{dt} = \frac{v_c^* + v_s^*}{v_{cl}^{\Sigma}} \left(-\frac{i_s}{2} + i_c \right) \quad (16)$$

（16）等号两边分别乘以 v_{cu}^{Σ} 和 v_{cl}^{Σ} ，整理得

$$\begin{aligned} \frac{dW_u}{dt} &= \frac{C}{2N} \frac{d(v_{cu}^{\Sigma})^2}{dt} = (v_c^* - v_s^*) \left(\frac{i_s}{2} + i_c \right) \\ \frac{dW_l}{dt} &= \frac{C}{2N} \frac{d(v_{cl}^{\Sigma})^2}{dt} = (v_c^* + v_s^*) \left(-\frac{i_s}{2} + i_c \right) \end{aligned} \quad (17)$$

其中 W_u 和 W_l 为桥臂电容中存储的能量。

桥臂电容电压波动

引入如下单相不平衡能量：

$$W_{\Sigma} = W_u + W_l \quad W_{\Delta} = W_u - W_l \quad (18)$$

根据（18）对（17）进行运算可得：

$$\frac{dW_{\Sigma}}{dt} = 2v_c^* i_c - v_s^* i_s \quad \frac{dW_{\Delta}}{dt} = v_c^* i_s - 2v_s^* i_c \quad (19)$$

由 $v_c \approx \frac{v_d}{2}$ ，令 $v_c^* = \frac{v_d}{2}$ ，并假定循环电流为纯直流， v_s^* 和 i_s 为交流，其表达式为：

$$v_s^* = \hat{V}_s \cos \omega_1 t \quad i_s = \hat{i}_s \cos(\omega_1 t - \varphi) \quad (20)$$

将（20）代入（19）中得：

$$\begin{aligned} \frac{dW_{\Sigma}}{dt} &= v_d i_c - \frac{\hat{V}_s \hat{i}_s}{2} \cos \varphi - \frac{\hat{V}_s \hat{i}_s}{2} \cos(2\omega_1 t - \varphi) \\ \frac{dW_{\Delta}}{dt} &= \frac{v_d \hat{i}_s}{2} \cos(\omega_1 t - \varphi) - 2\hat{V}_s i_c \cos \omega_1 t \end{aligned} \quad (21)$$

桥臂电容电压波动

(21) 第一式中第二项为每相平均有功功率输出的平均值，即 $-\frac{P}{M} = -\frac{\hat{V}_s \hat{I}_s}{2} \cos \varphi$ 。为了使 W_Σ 的平均值在稳态时为常数，则需满足

$$v_d i_c = \frac{P}{M} \quad i_c = \frac{P}{M v_d} \quad (22)$$

上式也是直流侧与交流侧功率守恒的体现。

对(21)中剩余项积分得：

$$\begin{aligned} W_\Sigma &= W_{\Sigma 0} - \frac{\hat{V}_s \hat{I}_s}{4\omega_1} \sin(2\omega_1 t - \varphi) \\ W_\Delta &= W_{\Delta 0} + \frac{v_d \hat{I}_s}{2\omega_1} \sin(\omega_1 t - \varphi) - \frac{2\hat{V}_s i_c}{\omega_1} \sin\omega_1 t \end{aligned} \quad (23)$$

通常希望 $\bar{v}_{u,l} = v_d$ ，单个桥臂等效电容为 C/N ，单个桥臂所存储的能量为 $C v_d^2 / (2N)$ 。上下桥臂总能量在上下桥臂均分，则有

$$W_{\Sigma 0} = \frac{C v_d^2}{N} \quad W_{\Delta 0} = 0 \quad (24)$$

桥臂电容电压波动

那么上下桥臂各自的能量可表示为 $W_u = (W_\Sigma + W_\Delta)/2$ 和 $W_l = (W_\Sigma - W_\Delta)/2$ 。将 W_Σ 和 W_Δ 表示为平均值叠加波动的形式，有

$$W_u = \frac{W_{\Sigma 0} + \Delta W_\Sigma + \Delta W_\Delta}{2} \quad W_l = \frac{W_{\Sigma 0} + \Delta W_\Sigma - \Delta W_\Delta}{2} \quad (25)$$

根据 $W_u = \frac{C}{2N} v_{cu}^{\Sigma^2}$ ，且由于纹波比其平均值小很多，桥臂电压可以有如下近似

$$\begin{aligned} v_{cu}^\Sigma &\approx v_d + \frac{N}{2Cv_d} (\Delta W_\Sigma + \Delta W_\Delta) \\ v_{cl}^\Sigma &\approx v_d + \frac{N}{2Cv_d} (\Delta W_\Sigma - \Delta W_\Delta) \end{aligned} \quad (26)$$

桥臂电容电压波动

由（26）有

$$\begin{aligned} v_c^\Sigma &= v_{cu}^\Sigma + v_{cl}^\Sigma \approx 2v_d + \frac{N}{C_{vd}} \Delta W_\Sigma \\ v_c^\Delta &= v_{cu}^\Sigma - v_{cl}^\Sigma \approx \frac{N}{C_{vd}} \Delta W_\Delta \end{aligned} \quad (27)$$

将（23）代入（27），有

$$\begin{aligned} v_c^\Sigma &\approx 2v_d - \frac{N}{C_{vd}} \frac{\hat{V}_s \hat{I}_s}{4\omega_1} \sin(2\omega_1 t - \varphi) \\ v_c^\Delta &\approx \frac{N}{C_{vd}} \left[\frac{v_d \hat{I}_s}{2\omega_1} \sin(\omega_1 t - \varphi) - \frac{2\hat{V}_s i_c}{\omega_1} \sin\omega_1 t \right] \end{aligned} \quad (28)$$

（28）可用于对桥臂电容电压波动进行精确预测。

直流电压母线动态方程

直流母线动态特性：

$$2C_d \frac{dv_{du,1}}{dt} = i_d - \sum_{k=1}^M i_{u,1}^k \quad (29)$$

令极间电压为 $v_d = v_{du} + v_{dl}$ ，直流母线不平衡电压为 $v_d^\Delta = v_{du} - v_{dl}$ ，有

$$\begin{aligned} C_d \frac{dv_d}{dt} &= i_d - \sum_{k=1}^M i_c^k \\ C_d \frac{dv_d^\Delta}{dt} &= -\frac{1}{2} \sum_{k=1}^M i_s^k \end{aligned} \quad (30)$$

在常规分析中我们认为 $v^\Delta = 0$ ， $v_{du} = -v_{dl} = v_d/2$

考虑子模块电容的有效直流电压母线动态方程

将（16）中的上下桥臂总电压动态叠加：

$$\frac{C}{N} \frac{d(v_{cu}^{\Sigma} + v_{cl}^{\Sigma})}{dt} = n_u \left(\frac{i_s}{2} + i_c \right) + n_l \left(-\frac{i_s}{2} + i_c \right) \quad (31)$$

$$\text{令 } v_c^{\Sigma} = v_{cu}^{\Sigma} + v_{cl}^{\Sigma},$$

$$\frac{C}{N} \frac{dv_c^{\Sigma}}{dt} = (n_u - n_l) \frac{i_s}{2} + (n_u + n_l) i_c \quad (32)$$

根据（15），令 $v_c^* = v_d/2$ ，忽略分母中桥臂电容电压波动，可得

$$n_u \approx \frac{v_d/2 - v_s^*}{v_d} \quad n_l \approx \frac{v_d/2 + v_s^*}{v_d} \quad (33)$$

考虑子模块电容的有效直流电压母线动态方程

(32) 可简化为:

$$\frac{C}{N} \frac{dv_c^\Sigma}{dt} = -\frac{v_s^* i_s}{v_d} + i_c \quad (34)$$

然后通过求平均值忽略电容电压纹波并假定循环电流为纯直流:

$$\frac{C}{N} \frac{d\overline{v_c^\Sigma}}{dt} = -\frac{\overline{v_s^* i_s}}{v_d} + i_c \quad (35)$$

通常桥臂电压平均值将被控制到 v_d , 且对桥臂电压波动控制的时间远小于对直流母线电压 v_d 控制的时间尺度, 则 $\overline{v_c^\Sigma} = 2v_d$, 将其代入(35):

$$\frac{2C}{N} \frac{dv_d}{dt} = -\frac{P}{Mv_d} + i_c \quad (36)$$

考虑子模块电容的有效直流电压母线动态方程

假设MMC各相平衡，即 $\sum_{k=1}^M i_c^k = M i_c$ ，代入（30）第一式：

$$C_d \frac{dv_d}{dt} = i_d - M i_c \quad (37)$$

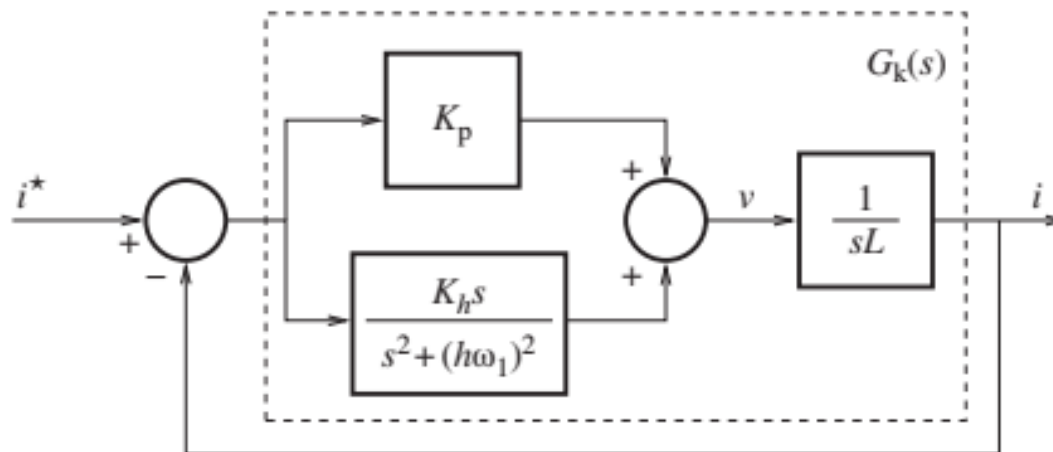
根据（36）和（37），消去 i_c ：

$$C'_d \frac{dv_d}{dt} = i_d - \frac{P}{v_d} \quad (38)$$

式中， $C'_d = C_d + 2MC/N$ 。（38）代表了考虑子模块电容的直流母线电压平均动态模型。

（12）和（38）共同构成了一个MMC的平均动态模型。

PR控制器用于正弦信号追踪



采用PR控制器实现电感电流的控制，R部分采用SOGI，令 $\phi_h = 0$ 。
上图中开关传递函数为

$$G_k(s) = \frac{K_p[s^2 + (h\omega_1)^2] + K_h s}{[s^2 + (h\omega_1)^2]sL} \quad (1)$$

PR控制器用于正弦信号追踪

控制系统闭环传递函数为

$$G_c(s) = \frac{G_s(s)}{1 + G_k(s)} = \frac{K_p[s^2 + (h\omega_1)^2] + K_h s}{(sL + K_p)[s^2 + (h\omega_1)^2] + K_h s} \quad (2)$$

- 利用（2）可实现对频率为 $h\omega_1$ 的参考电流信号的精确追踪
- 若要追踪具有多种频率成分的参考信号，则控制回路中应增加对应于每一种频率成分的谐振控制器

PR控制器P参数的设计

考虑（2）的闭环传递函数，假设此时仅使用比例控制器，有

$$G_c(s) = \frac{K_p}{sL + K_p} = \frac{K_p/L}{s + K_p/L} \quad (3)$$

比例系统通常选取为

$$K_p = \alpha_c L \quad (4)$$

其中 α_c 为所需要的闭环系统带宽，闭环系统传递函数变为

$$G_c(s) = \frac{\alpha_c}{s + \alpha_c} \quad (5)$$

PR控制器R参数的设计

通常PR谐振滤波器谐振增益选取为

$$K_h = 2\alpha_h\alpha_c L = 2\alpha_h K_p \quad (6)$$

将（6）和（4）代入（2）中有

$$G_c(s) = \frac{\alpha_c[s^2 + (h\omega_1)^2] + 2\alpha_h\alpha_c s}{(s + \alpha_c)[s^2 + (h\omega_1)^2] + 2\alpha_h\alpha_c s} \quad (7)$$

可改写为

$$G_c(s) = \frac{\alpha_c[s^2 + 2\alpha_h s + (h\omega_1)^2]}{(s + \alpha_c)[s^2 + 2\alpha_h s + (h\omega_1)^2] - 2\alpha_h s^2} \quad (8)$$

若（8）分母第二项可忽略，则可近似为

$$G_c(s) \approx \frac{\alpha_c[s^2 + 2\alpha_h s + (h\omega_1)^2]}{(s + \alpha_c)[s^2 + 2\alpha_h s + (h\omega_1)^2]} = \frac{\alpha_c}{s + \alpha_c} \quad (9)$$

PR控制器R参数的设计

闭环传递函数化简后与纯比例控制的闭环传递函数（5）相同，由于（7）和（9）中分母多项式展开后仅有两项不同，即 $\alpha_c s^2$ 和 $(\alpha_c + 2\alpha_h)s^2$ ，因此上述化简成立的条件为

$$\alpha_h \ll \alpha_c \quad (10)$$

参数 α_h 为谐振带宽，可描述谐振控制器控制下跟踪误差的收敛速度

输出电流控制器设计

输出电流动态方程为

$$\frac{L}{2} \frac{di_s}{dt} = v_s - v_a - \frac{R}{2} i_s \quad (11)$$

可得

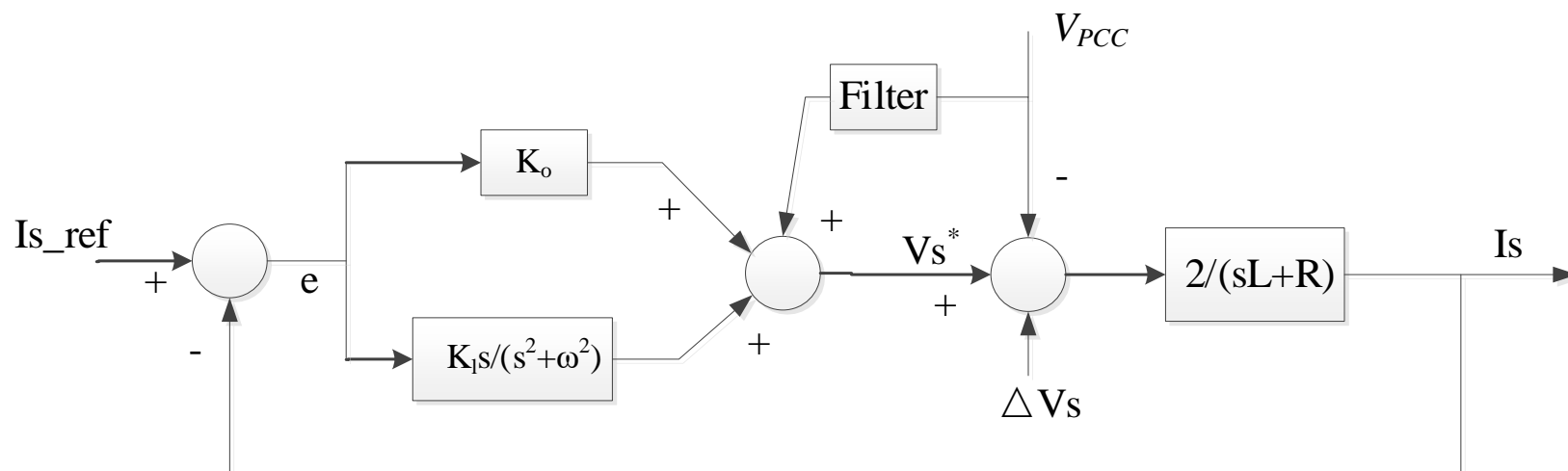
$$i_s = \frac{2}{sL + R} (v_s - v_a) \quad (12)$$

由于桥臂电阻非常小，（4）和（6）中给出的PR控制器的参数设计方法仍然有效

$$K_p = \frac{\alpha_c L}{2} \quad K_1 = 2\alpha_1 K_p = \alpha_1 \alpha_c L \quad \alpha_1 \ll \alpha_c \quad (13)$$
$$K_0 = K_p$$

输出电流控制器设计

输出电流控制器的结构框图为：



控制器输出为：

$$V_s^* = K_o e + \frac{K_i s}{s^2 + \omega^2} e + V_{PCC}^f e = i_{s_ref} - i_s \quad (14)$$

循环电流控制

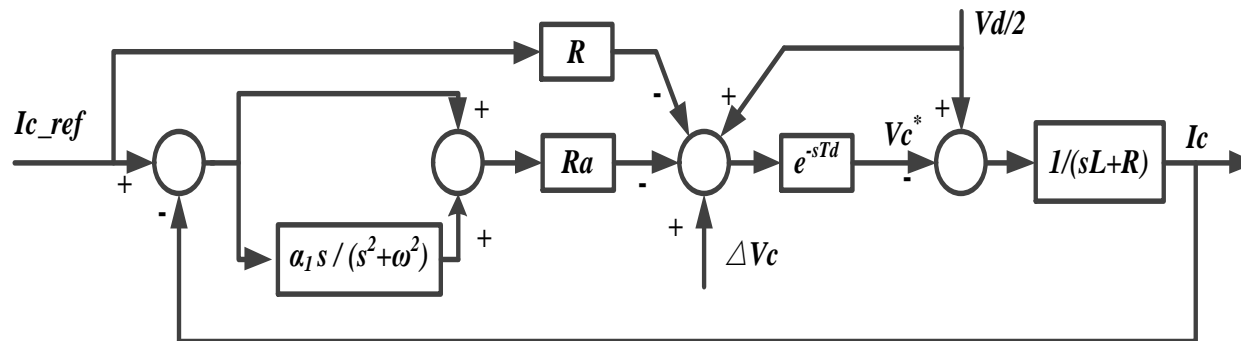
循环电流动态为:

$$L \frac{di_c}{dt} = \frac{v_d}{2} - v_c - Ri_c \quad (15)$$

可得

$$i_c = \frac{1}{sL + R} \left(\frac{v_d}{2} - v_c \right) \quad (16)$$

循环电流控制器设计为



其中, $I_{c_ref} = i_d/M = P/(Mv_d)$

循环电流控制

- 循环电流控制器中比例控制环节将换流器等效电阻从 R 增加到 $R+R_a$ ，因此 R_a 也成为虚拟电阻，其值应满足：

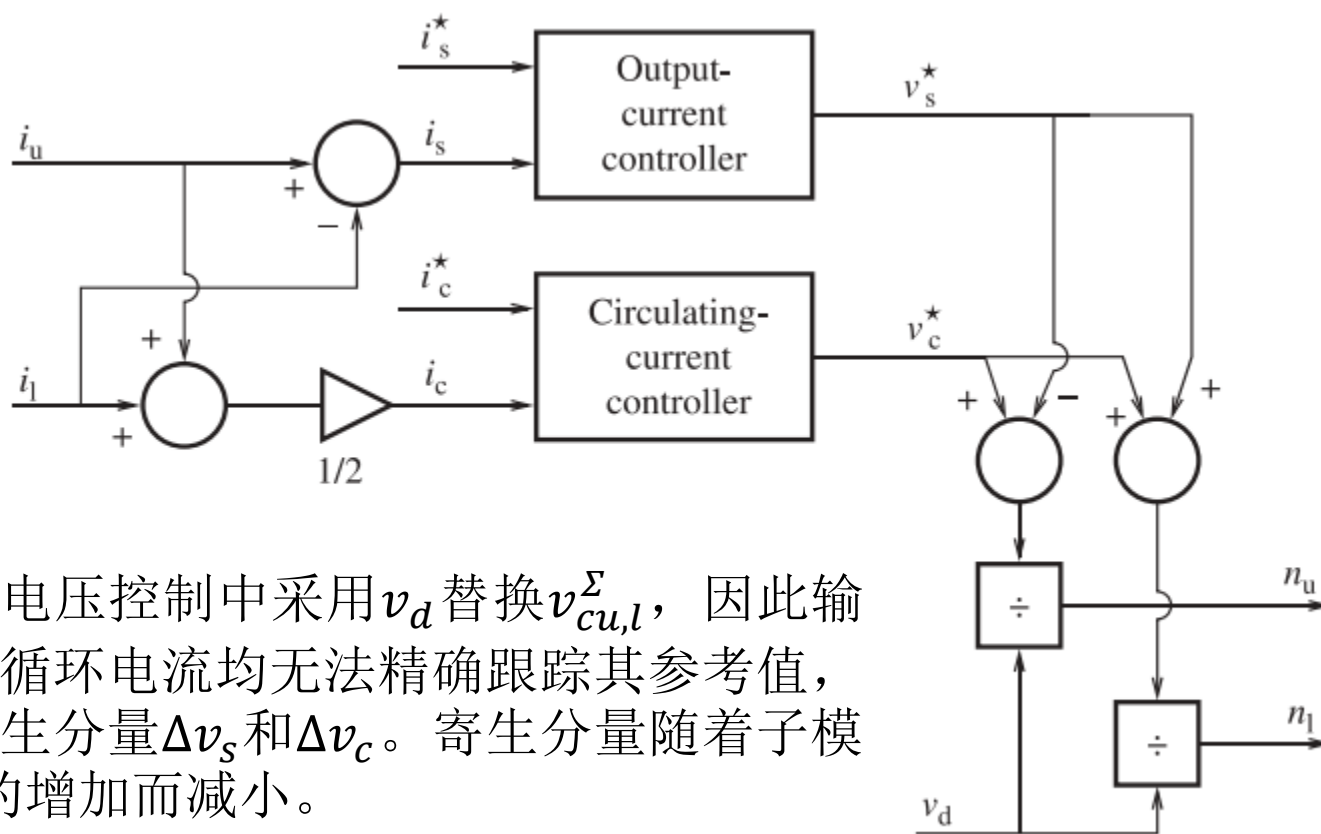
$$R \ll R_a \ll K_p \quad (17)$$

其中 K_p 为输出电流控制器的比例系数。

- 谐振控制器部分可选取 $\alpha_2 < \omega_1$

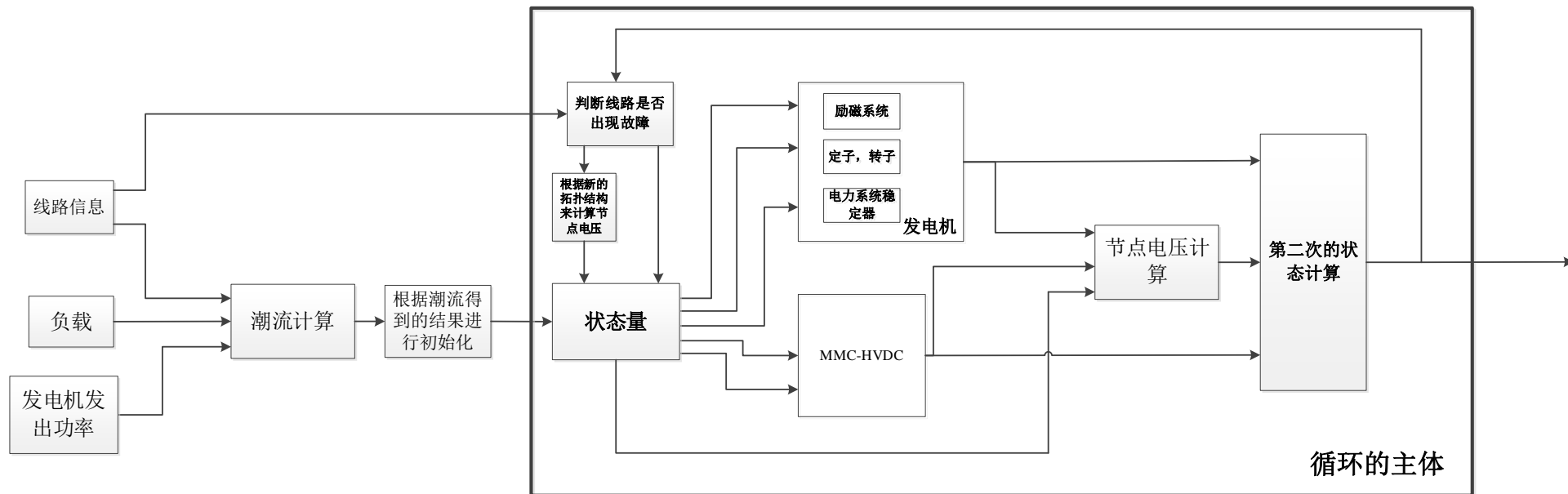
直接电压控制

直接电压控制框图如下所示：



由于直接电压控制中采用 v_d 替换 $v_{cu,l}^\Sigma$ ，因此输出电流和循环电流均无法精确跟踪其参考值，出现了寄生分量 Δv_s 和 Δv_c 。寄生分量随着子模块电容C的增加而减小。

MMC仿真流程



MMC仿真部分程序

%% MMC-HVDC

% DC voltage controller for inverter

```
dDcci0 = DvotCon(Xdcci0, Pdcci0, Vdcci0, Vmmci0, Xmmci0);
```

```
Xdcci1 = Xdcci0 + stepsize.*dDcci0;
```

```
Vdcci1 = RenewVdcc(Xdcci1, Pdcci0, Xmmci0, Pmmc0, Vmmci0);
```

% Output current controller for inverter

```
dFouci0 = OucCon(Xouci0, Pouc0, Vouci0, Xmmci0, Pmmc0, Vmmci0, Vdcci1, MMCflow0, Type1);
```

```
Xouci1 = Xouci0 + stepsize.*dFouci0;
```

% Output current controller for rectifier

```
Vdccr0 = 0;
```

```
dFoucr0 = OucCon(Xoucr0, Pouc0, Voucr0, Xmmcr0, Pmmc0, Vmmcr0, Vdccr0, MMCflow0, Type2);
```

```
Xoucr1 = Xoucr0 + stepsize.*dFoucr0;
```

```
[Vouci1, Voucr1] = RenewVouc(Xouci1, Xoucr1, Pouc0, Vouci0, Voucr0, Xmmci0, Xmmcr0, Pmmc0, Vmmci0, Vmmcr0, Vdcci1, MMCflow0, t);
```

% Circulating current controller for inverter

% Sum-Capacitor-Voltage Ripples

```
dCiri0 = CirCon(Xciri0, Pcir0, Vciri0, Xmmci0, Pmmc0, MMCflow0, W_sumi, W_deltai, Type1, t);
```

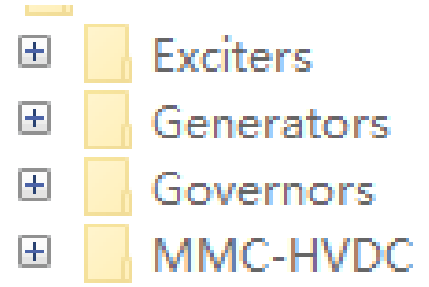
```
Xciri1 = Xciri0 + stepsize.*dCiri0;
```

% Circulating current controller for rectifier

```
dCirr0 = CirCon(Xcirr0, Pcir0, Vcirr0, Xmmcr0, Pmmc0, MMCflow0, W_sumr, W_deltar, Type2, t);
```

```
Xcirr1 = Xcirr0 + stepsize.*dCirr0;
```

```
[Vciri1, Vcirr1] = RenewVcir(Xciri1, Xcirr1, Pcir0, Vciri0, Vcirr0, Xmmci0, Xmmcr0, Pmmc0, Vouci1, Voucr1);
```



MMC各元器件子程序

MMC控制框架

